

Научно-исследовательский центр  
по технологическим лазерам АН СССР

Поступило в Редакцию  
3 августа 1989 г.

Письма в ЖТФ, том 16, вып. 1

12 января 1990 г.

06.2

© 1990

## ВЛИЯНИЕ ЛОКАЛЬНЫХ НЕОДНОРОДНОСТЕЙ В ПОЛУПРОВОДНИКОВОЙ ПОДЛОЖКЕ НА ХАРАКТЕРИСТИКИ ЛАВИННЫХ ФОТОПРИЕМНИКОВ

А.Г. Гасанов, В.М. Головин, З.Я. Садыгов,  
Н.Ю. Юсипов

Известно, что одним из недостатков, ограничивающих применение полупроводниковых лавинных фотодиодов для регистрации слабых потоков оптических квантов и ядерных частиц, является присутствие (или образование при эксплуатации) в них отдельных областей микроприбора (микроплазмы). Центрами микроплазмы обычно являются такие неоднородности в полупроводниковой подложке, как дислокация атомов основного вещества, локальные скопления примесей, форма и чистота границ разделов и другие искажения кристаллической решетки, приводящие к неуправляемому развитию лавинного процесса в приборе [1].

Значительное ослабление микроплазменных процессов достигается в многослойных структурах металл – буферный слой – полупроводник на основе систем кремний – двуокись кремния ( $Si - SiO_2$ ) [2, 3] и кремний – карбид кремния ( $Si - SiC$ ) [4, 5]. В этих структурах за счет возможности накопления размноженных носителей заряда на границе полупроводник – буферный слой обеспечивается локальная отрицательная обратная связь в областях микроплазмы, приводящая к стабилизации лавинного процесса по всей рабочей площади прибора.

В данном сообщении изучено влияние искусственно созданных неоднородностей на границах раздела  $Si - SiO_2$  и  $Si - SiC$  на величины коэффициента усиления фототока и напряжения пробоя, соответствующего началу лавинного процесса в структурах.

В рабочем режиме к электродам структур прикладывалось импульсное (в случае системы  $Si - SiO_2$ ) или постоянное (в случае системы  $Si - SiC$ ) напряжение  $V$  с полярностью, соответствующей обеднению границы раздела полупроводник – буферный слой. В качестве источника света использовался светодиод с длиной волны излучения  $\lambda = 0.67$  мкм. Коэффициент усиления в структурах опре-

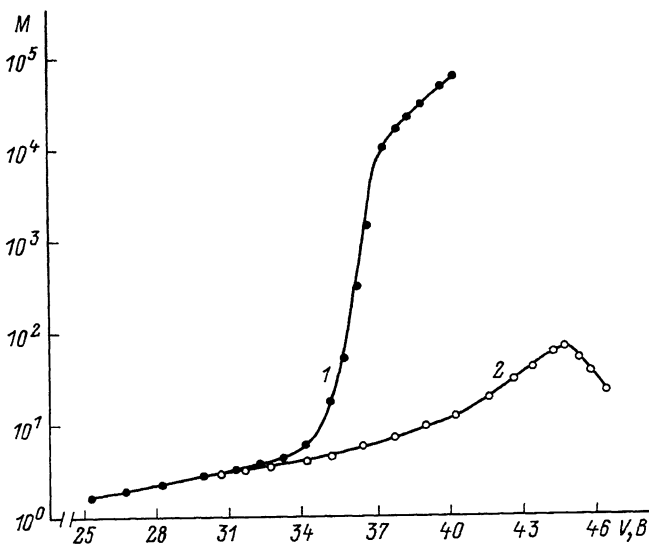
делялся как отношение амплитуды усиленного фототока при  $V \geq 25$  В к амплитуде фототока при уменьшенном напряжении до  $V = 20$  В. За величину напряжения пробоя принимался такой потенциал, при котором наступал излом на вольт-амперной характеристике структур при освещении.

Образцы фотоприемников изготавливались на базе кремниевой подложки  $p$ -типа проводимости с концентрацией примеси  $\approx 1.5 \times 10^{16} \text{ см}^{-3}$ . На поверхности кремниевой подложки через окна с диаметрами 2.5 мкм формировались неоднородности в виде отдельных областей противоположного типа проводимости с концентрацией примеси  $\sim 10^{19} \text{ см}^{-3}$ . Глубины и расстояния между неоднородностями варьировались от 0.2 до 3 мкм и от 3 до 50 мкм. Затем на поверхности полупроводниковых пластин формировались слои термического окисла  $SiO_2$  толщиной 0.2 мкм или  $SiC$  толщиной 0.4 мкм ионно-плазменным распылением. В качестве полуупрозрачного электрода использовался слой никеля площадью 1.1  $\text{мм}^2$ , нанесенный на буферные слои термическим испарением в вакууме. Для сравнения характеристик совместно с вышеуказанными структурами изготавливались также базовые структуры без областей  $n$ -типа проводимости.

Исследования структур  $Si - SiO_2$  и  $Si - SiC$  показали, что при данной концентрации примеси в области  $n$ -типа проводимости  $\sim 10^{19} \text{ см}^{-3}$ , величина напряжения пробоя монотонно падает с увеличением глубины  $p-n$ -переходов, причем наибольшее изменение (до 4 В) напряжения пробоя  $V_0$  происходит в интервале глубины  $p-n$ -переходов  $W = (0.3-1.5)$  мкм, а в интервале  $W = (1.5-3)$  мкм величина  $V_0$  падает всего на 0.5 В.

После формирования областей  $n$ -типа проводимости на поверхности подложек коэффициент усиления фототока в структурах значительно увеличился по сравнению с базовыми структурами. На рис. 1 представлена зависимость коэффициента усиления фототока от напряжения в указанных структурах. Зависимости снимались при постоянной мощности излучения  $\approx 4.5 \cdot 10^{-9}$  Вт. Длительность световых импульсов при этом составляла  $\sim 100$  нс. Видно, что при потенциале на электродах  $V = 37$  В коэффициент усиления фототока в структуре с областями  $n$ -типа проводимости превышает в  $10^3$  раз коэффициент усиления фототока в базовой структуре (без областей  $n$ -типа проводимости). Аналогичный характер изменения коэффициента усиления наблюдался в структурах  $Si - SiO_2 - Ni$  после введения в них областей  $n$ -типа проводимости.

Уменьшение напряжения пробоя структур можно объяснить эффектом острия, осуществляемом в областях  $n$ -типа проводимости. Очевидно, что после диффузии примесей через окна диаметром  $\sim 2.5$  мкм в приповерхностной области подложки образуются  $p-n$ -переходы с формой границы раздела ближе к полусфере. При глубине диффузии примесей, сравнимой с величиной максимально возможной толщины  $W_{max}$  обеднения в подложке (в нашем случае  $W \approx 2$  мкм), экспоненциальные поверхности вокруг  $p-n$ -переходов имеют значительную кривизну, в результате этого там лавинный процесс достигается при меньшем потенциале по сравнению с плоскопараллельной частью границы раздела полупроводник – буферный слой.



Зависимость коэффициента усиления импульсного фототока  $M$  от приложенного к структуре кремний–карбид кремния–никель постоянного напряжения  $V$ . 1 – структура с областями  $n$ -типа проводимости, 2 – базовая структура.

Значительное увеличение коэффициента усиления фототока в структурах с областями  $n$ -типа проводимости мы связываем с уменьшением по сравнению с базовыми структурами доли темнового тока дырок, пересекающих область размножения носителей заряда. Например, часть дырок, пересекающих границу раздела полупроводник – буферный слой в промежутке между областями  $n$ -типа проводимости, не имеет возможности размножаться, тогда как значительная часть электронов, созданных в этих промежутках светом с длиной волны  $\lambda \geq 0.6$  мкм, притягивается к  $p-n$ -переходам и размножается.

Следует отметить, что в структурах с областью  $n$ -типа проводимости также улучшалась стабильность характеристик со временем. Например, срок службы структур  $Si-SiC-Ni$  с областями  $n$ -типа проводимости на один порядок больше по сравнению с базовыми структурами. В структурах  $Si-SiO_2-Ni$  с областями  $n$ -типа проводимости за десять часов работы не был замечен сдвиг плоских зон, а в соответствующих базовых образцах за это время сдвиг достигал десяти вольт.

Таким образом, наличие в полупроводниковой подложке неоднородностей в виде областей  $n$ -типа проводимости приводит к локализации лавинного процесса, в результате этого к значительному улучшению рабочих характеристик лавинных фотоприемников на основе структур полупроводник – буферный слой – металл.

## С п и с о к л и т е р а т у р ы

- [1] Грехов И.В., Сережкин Ю.Н. Лавинный пробой  $p-n$ -перехода в полупроводниках. М.: Энергия, 1980. С. 145.
- [2] Кравченко А.Б., Плотников А.Ф., Попов Ю.М., Шубин В.Э. // Квантовая электроника. 1981. Т. 8. № 4. С. 785-792.
- [3] Железных И.М., Плотников А.Ф., Садыгов З.Я., Шубин В.Э. // Краткие сообщения по физике (ФИАН СССР). 1984. № 5. С. 19-22.
- [4] Гасанов А.Г., Головин В.М., Садыгов З.Я., Юсипов Н.Ю. // Письма в ЖТФ. 1988. Т. 14. В. 8. С. 706-709.
- [5] Гасанов А.Г., Головин В.М., Садыгов З.Я., Юсипов Н.Ю. // Микроэлектроника. 1988. Т. 18. В. 1. С. 88-90.

Институт ядерных исследований  
АН СССР, Москва

Поступило в Редакцию  
10 октября 1989 г.

Письма в ЖТФ, том 16, вып. 1

12 января 1990 г.

06.2

© 1990

### ВНУТРЕННЕЕ ФОТОУСИЛЕНИЕ В ПЛАНАРНЫХ СТРУКТУРАХ С БАРЬЕРОМ БАРДИНА НА $GaAs$

Н.М. Ушаков, А.Н. Солодкий, В.Э. Выдущ,  
В.И. Петросян

Для детектирования оптических сигналов пикосекундной длительности одними из перспективных являются фотодетекторы (ФД) с планарной металлической структурой на поверхности эпитаксиальной слаболегированной полупроводниковой пленки, выращенной на полуизолирующей подложке [1-3]. Использование контакта металла с малой электроотрицательностью с ковалентным полупроводником (таким, как  $GaAs$ ) позволяет формировать барьера, высота которых практически не зависит от работы выхода металла, а определяется в основном поверхностными состояниями. Барьеры такого типа получили названия барьеров Бардина [4]. Планарные фотоприемные структуры с барьером Бардина (ПФСББ) обладают большим быстродействием и стабильностью рабочих параметров. Если динамика photoносителей в таких структурах изучалась даже при субмикронном межэлектродном расстоянии [5], то вопросы, связанные с фоточувствительностью ПФСББ, еще недостаточно исследованы.